

## • 化学成分 •

## 素心腊梅种子中 1 个新生物碱

张春艳, 白雪梅, 张 旭, 秦玉琴, 石继祥, 李羽晗, 王 欣, 陆世惠, 黄 静\*

四川大学华西药学院, 四川 成都 610041

**摘要:** 目的 研究素心腊梅 *Chimonanthus praecox* var. *concolor* 种子中的化学成分。方法 采用柱色谱和重结晶法进行分离纯化并采用质谱、核磁共振等技术鉴定化学结构。结果 从素心腊梅种子 95%乙醇提取物中分离鉴定了 8 个化合物, 包括 1 个新化合物素心腊梅碱 (1), 1 个新天然产物 *N<sub>1</sub>,N<sub>10</sub>-二甲基吲哚基乙胺* (2) 以及 6 个已知化合物: 10-二十一碳烯酸 (3)、 $\beta$ -谷甾醇 (4)、 $\beta$ -胡萝卜苷 (5)、胡萝卜苷亚油酸酯 (6)、东莨菪素 (7) 和对羟基桂皮醛 (8)。结论 化合物 1 为新生物碱类化合物, 命名为素心腊梅碱, 2 为首次从自然界发现的化合物。其他所有化合物均为首次从该植物中得到。

**关键词:** 腊梅科; 素心腊梅; 种子; 素心腊梅碱; *N<sub>1</sub>,N<sub>10</sub>-二甲基吲哚基乙胺*

中图分类号: R284.1 文献标志码: A 文章编号: 0253-2670(2017)06-1072-04

DOI: 10.7501/j.issn.0253-2670.2017.06.003

## A new alkaloid from seeds of *Chimonanthus praecox* var. *concolor*

ZHANG Chun-yan, BAI Xue-mei, ZHANG Xu, QIN Yu-qin, SHI Ji-xiang, LI Yu-han, WANG Xin, LU Shi-hui, HUANG Jing

West China School of Pharmacy, Sichuan University, Chengdu 610041, China

**Abstract: Objective** To investigate the chemical constituents in the seeds of *Chimonanthus praecox* var. *concolor*. **Methods** The column chromatography and recrystallization methods were used for the isolation and the purification of compounds, and the spectroscopic methods (MS, NMR, etc.) were used for the structural identification. **Results** A new alkaloid chimonanthconin (1) and a new natural compound *N<sub>1</sub>,N<sub>10</sub>-dimethyltryptamine* (2), along with six known compounds, 10-heneicosenoic acid (3),  $\beta$ -sitosterol (4),  $\beta$ -daucosterol (5), daucoster linoleate (6), scopoletin (7), and *p*-hydrroxyleinnamaldehyde (8), were isolated and identified. **Conclusion** Compound 1 is a new alkaloid and named chimonanthconin and compound 2 is a new natural compound. And other compounds are isolated from this plant for the first time.

**Key words:** Calycanthaceae; *Chimonanthus praecox* (L.) Link. var. *concolor* Makino; seeds; chimonanthconin; *N<sub>1</sub>,N<sub>10</sub>-dimethyltryptamine*

腊梅科 (Calycanthaceae) 腊梅属 *Chimonanthus* Lindl. nom. cons. 植物属于我国特有植物资源, 遍及我国南部的 10 个省区<sup>[1]</sup>。该属植物的叶和花都散发香气, 是我国传统的庭院名花及园林绿化植物, 具有极高的观赏价值<sup>[2]</sup>。同时也可作为中药材使用。现代的科学研究表明腊梅属植物具有解热镇痛、抗真菌、抗氧化、抗黑色素、镇咳祛痰等药理活性<sup>[3-5]</sup>。素心腊梅 *Chimonanthus praecox* (L.) Link. var. *concolor* Makino 是腊梅的一个变种<sup>[6]</sup>, 常作为庭院观赏植物, 资源十分丰富, 但相关的成分研究报道较少。本课题组在前期有关素心腊梅的研究中, 已从其种子中分离得到 5 种生物碱<sup>[1]</sup>。为了更多地了

解素心腊梅植物的化学成分, 阐明该植物的药用物质基础, 继续对素心腊梅种子进行研究, 从中分离鉴定了 8 个化合物, 包括 1 个新化合物素心腊梅碱 (chimonanthconin, 1), 1 个新天然产物 *N<sub>1</sub>,N<sub>10</sub>-二甲基吲哚基乙胺* (*N<sub>1</sub>,N<sub>10</sub>-dimethyltryptamine*, 2) 以及 6 个已知化合物: 10-二十一碳烯酸 (10-heneicosenoic acid, 3)、 $\beta$ -谷甾醇 ( $\beta$ -sitosterol, 4)、 $\beta$ -胡萝卜苷 ( $\beta$ -daucosterol, 5)、胡萝卜苷亚油酸酯 (daucoster linoleate, 6)、东莨菪素 (scopoletin, 7) 和对羟基桂皮醛 (*p*-hydrroxyleinnamaldehyde, 8)。其中, 化合物 1 为新生物碱类化合物, 2 为首次从自然界发现的化合物, 其他化合物均为首次从该植物中得到。

收稿日期: 2017-01-21

作者简介: 张春艳 (1989—), 女, 在读硕士, 研究方向为天然产物 NMR 化学计量学。Tel: 18200231910 E-mail: 1137542999@qq.com

\*通信作者 黄 静 (1961—), 男, 教授, 主要从事中药化学成分和体内吸收代谢的 NMR 分析研究。E-mail: huangj\_pharm@scu.edu.cn

## 1 仪器与试药

ACE200型和VarianINO-VA400/54型核磁共振仪; amaZon SL质谱仪(Bruker Daltonics);薄层色谱硅胶GF<sub>254</sub>和柱色谱用硅胶G(200~300、100~200目,青岛海洋化工有限公司)。

素心腊梅种子于2013年6月采自成都市双流县,经黄静教授鉴定为素心腊梅 *Chimonanthus praecox* (L.) Link. var. *concolor* Makino。

## 2 提取与分离

素心腊梅种子粗粉10.0 kg,石油醚(60~90℃)脱脂后,再用95%乙醇回流提取5次,每次1.5 h,滤过,合并乙醇提取液,减压浓缩后得流浸膏540 g。总浸膏用2%的稀盐酸溶解后,醋酸乙酯萃取3次,合并醋酸乙酯层,减压浓缩得到浸膏A(200 g)。酸水层用5%的氢氧化钠溶液调至pH 11~12,然后用醋酸乙酯萃取3次,合并醋酸乙酯层,减压浓缩,得到浸膏B(108 g)。取浸膏A(120 g)经硅胶柱色谱,以石油醚-醋酸乙酯(50:1、25:1、20:1、10:1、4:1、1:1)梯度洗脱得6个部分(Fr. 1~6)。Fr. 2经减压浓缩后,放置析晶,滤取晶体后用醋酸乙酯重结晶,得化合物3(50 mg)。Fr. 3进行硅胶柱色谱,用石油醚-醋酸乙酯系统反复洗脱得化合物4(20 mg)和5(20 mg)。Fr. 4进行硅胶柱色谱,用石油醚-醋酸乙酯系统反复洗脱后,重结晶得到化合物6(25 mg)和7(19 mg)。Fr. 5和Fr. 6合并后进行硅胶柱色谱,醋酸乙酯-甲醇系统洗脱,再结合重结晶方法得到化合物8(40 mg)。取浸膏B(108 g)经硅胶柱色谱,以石油醚-醋酸乙酯(25:1、20:1、10:1、4:1、1:1)梯度洗脱得6个部分(Fr. 1~6)。Fr. 2经减压浓缩后,放置析晶,滤过晶体后的母液,经硅胶柱色谱分离,经石油醚-醋酸乙酯(5:1)洗脱得化合物1(20 mg)。Fr. 4进行硅胶柱色谱,石油醚-丙酮(20:1、10:1、4:1、1:1)梯度洗脱。石油醚-丙酮(1:1)洗脱部分,再次进行硅胶柱色谱,石油醚-丙酮(1:1)洗脱得化合物2(30 mg)。

## 3 结构鉴定

化合物1:白色无定形粉末,碘化铋钾显色呈阳性;HR-ESI-MS给出准分子离子峰m/z 231.149 6 [M+H]<sup>+</sup>,结合其氢谱和碳谱数据推测其分子式为C<sub>14</sub>H<sub>18</sub>ON<sub>2</sub>,不饱和度为7。IR  $\nu_{\text{max}}^{\text{KBr}}$ (cm<sup>-1</sup>): 3 398, 2 962, 2 926, 1 709, 1 612, 1 260, 1 218, 1 170, 802, 757。**1**的红外光谱显示有苯环(1 612, 1 260, 802

cm<sup>-1</sup>); 羰基(1 709 cm<sup>-1</sup>)和叔胺基(1 218, 1 170 cm<sup>-1</sup>)。<sup>1</sup>H-NMR(400 MHz, CDCl<sub>3</sub>)显示有2组氮甲基氢信号δ 3.22和2.34(各3H, s)和1组脂肪甲基氢信号δ 0.65(3H, d, J=6.2 Hz); 4组芳香氢信号δ 6.82, 7.40(各1H, d, J=7.5 Hz)和7.06, 7.26(各1H, t, J=7.5 Hz)以及5组脂肪氢信号δ 3.34(1H, m), 2.66(1H, q, J=6.2 Hz), 2.60(1H, m), 2.32(1H, m)和2.01(1H, m),以上数据提示化合物**1**结构中应有1个邻位二取代的苯环。<sup>13</sup>C-NMR(100 MHz, CDCl<sub>3</sub>)提示有14个碳信号,其中有1个羰基碳信号δ 179.7、6个芳碳信号δ 143.1, 133.0, 127.6, 125.0, 122.4, 107.6和7个脂肪碳信号δ 69.2, 57.8, 55.9, 39.9, 34.6, 26.4, 13.9。上述NMR数据提示化合物**1**可能为吡咯烷-螺环吲哚型生物碱。将其NMR数据与文献报道<sup>[7-8]</sup>对照,发现化合物**1**与horsfiline相似,提示两者有相同的骨架结构。进一步比较化合物**1**与horsfiline的NMR数据,horsfiline的NMR数据显示有1组甲氧基信号( $\delta_H$  3.73,  $\delta_C$  55.7),但化合物**1**的NMR谱中没有观察到甲氧基信号; horsfiline的<sup>13</sup>C-NMR谱显示甲氧基取代位置的季碳信号为 $\delta_C$  165.0(C-5),但化合物**1**的NMR谱中未观察到相应的芳香碳信号,取而代之的是4个叔碳信号( $\delta_H$  6.82,  $\delta_C$  107.6;  $\delta_H$  7.40,  $\delta_C$  125.0;  $\delta_H$  7.06,  $\delta_C$  122.4和 $\delta_H$  7.26,  $\delta_C$  127.6);在此基础上,分析化合物**1**的HMBC图谱(图1),结果显示了与上述分析一致的结论,故判断化合物**1**的结构中较horsfiline结构少了一个甲氧基取代。

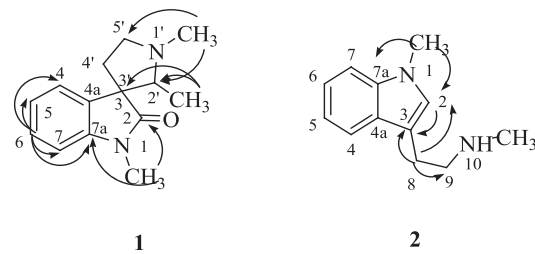


图1 化合物**1**和**2**的结构及其主要的HMBC相关

Fig. 1 Structures and key HMBC correlations of compounds **1** and **2**

Horsfiline的NMR谱中仅显示了1个N<sub>1</sub>-CH<sub>3</sub>信号( $\delta_H$  2.41, 3H, s;  $\delta_C$  41.7);而化合物**1**的NMR谱中显示了2个氮甲基信号[ $\delta_H$  3.22(3H, s)和2.34(3H, s)]。其中1个氮甲基信号( $\delta_H$  2.34,  $\delta_C$  39.9)与horsfiline的N<sub>1</sub>-CH<sub>3</sub>信号相似;进一步分析化合物**1**的HMBC谱,可观察该氮甲基氢信号 $\delta_H$  2.34与 $\delta_C$

69.2 和  $\delta_C$  55.9 存在远程相关, 证实了该甲基碳应取代在  $N_1'$  上。另一个氮甲基信号 ( $\delta_H$  3.22,  $\delta_C$  26.4), 通过分析 HMBC 谱, 可观察到  $\delta_H$  3.22 与  $\delta_C$  179.7 和  $\delta_C$  143.1 存在远程相关, 证实了该甲基碳应取代在  $N_1$  上。化合物 1 的 NMR 谱中观察到的脂肪甲基信号 ( $\delta_H$  0.65,  $\delta_C$  13.9), 通过分析 HMBC 谱, 可观察到  $\delta_H$  0.65 与  $\delta_C$  69.2 和  $\delta_C$  57.8 存在远程相关, 证实了该甲基应取代在  $C_1$  上。

综上所述, 最终确定化合物 1 为 1, 1', 2'-三甲基螺 [吲哚-3-3'-吡咯烷]-2-酮, 该化合物为 1 个新化合物, 命名为素心腊梅碱 (chimonanthconin)。

**化合物 2:** 浅黄色油状液体, 碘化铋钾显色呈阳性。 $^1H$ -NMR (600 MHz, CDCl<sub>3</sub>) 显示有 2 组氮甲基氢信号  $\delta$  3.67 (3H, s,  $N_1$ -CH<sub>3</sub>) 和  $\delta$  2.40 (3H, s,  $N_{10}$ -CH<sub>3</sub>); 1 组烯氢信号  $\delta$  6.84 (1H, s, H-2); 4 组芳氢信号  $\delta$  7.09 (1H, t,  $J$  = 7.2 Hz, H-5), 7.20 (1H, t,  $J$  = 7.2 Hz, H-6), 7.24 (1H, d,  $J$  = 7.2 Hz, H-4) 和 7.60 (1H, d,  $J$  = 7.2 Hz, H-7); 1 组活泼氢信号  $\delta$  1.28 (1H, s,  $N_{10}$ -H) 和 1 组相互偶合的亚乙基信号  $\delta$  2.87 (2H, t,  $J$  = 5.2 Hz, H-8) 和 2.94 (2H, t,  $J$  = 5.2 Hz, H-9)。 $^{13}C$ -NMR (100 MHz, CDCl<sub>3</sub>) 显示有 12 个碳信号, 其中有 6 个芳碳信号:  $\delta$  118.5 (C-5), 118.8 (C-7), 121.3 (C-6), 126.5 (C-3a), 136.9 (C-7a) 和 109.0 (C-4); 2 个烯碳信号:  $\delta$  112.2 (C-3) 和 127.7 (C-2); 4 个脂肪碳信号:  $\delta$  25.3 (C-9), 32.3 ( $N_1$ -CH<sub>3</sub>), 36.2 ( $N_{10}$ -CH<sub>3</sub>) 和 52.0 (C-8)。将化合物 2 的 NMR 数据与文献报道<sup>[9]</sup>比较, 两者基本一致; 同时进一步通过分析化合物 2 的 1D-NMR ( $^1H$ -、 $^{13}C$ -NMR) 和 2D-NMR (HMQC、HMBC) 谱图 (图 1), 确定化合物 2 为  $N_1,N_{10}$ -二甲基吲哚基乙胺。经文献检索, 化合物 2 为人工合成产物, 本实验则是首次从自然界发现该化合物。

**化合物 3:** 浅黄色油状液体。 $^1H$ -NMR (600 MHz, CDCl<sub>3</sub>) 显示有 1 组甲基氢信号  $\delta$  0.88 (3H, t,  $J$  = 6.0 Hz, H-21); 1 组烯氢信号  $\delta$  5.32~5.40 (2H, m, H-10, 11); 1 组活泼氢信号  $\delta$  10.63 (1H, brs, -COOH);  $^{13}C$ -NMR (150 MHz, CDCl<sub>3</sub>) 显示有 21 个碳信号, 其中有 1 个羰基碳信号  $\delta$  180.3 (C-1), 2 个烯碳信号:  $\delta$  130.2 (C-10) 和 130.0 (C-11) 和 1 个甲基碳信号:  $\delta$  14.1 (C-21)。根据性状及  $^1H$ -和  $^{13}C$ -NMR 数据, 提示化合物 3 可能为直链脂肪酸类化合物。将化合物 3 的 NMR 数据与文献报道<sup>[10]</sup>比较, 两者基本一致, 故鉴定 3 为 10-二十一碳烯酸。

**化合物 4:** 无色针状晶体 (甲醇), Liebermann-Burchard 反应呈阳性。 $^1H$ -NMR (400 MHz, CDCl<sub>3</sub>) 显示有 6 个甲基信号:  $\delta$  1.00 (3H, s, CH<sub>3</sub>-19), 0.80~0.85 (9H, m, CH<sub>3</sub>-26, 27, 29), 0.91 (3H, d,  $J$  = 6.4 Hz, CH<sub>3</sub>-21) 和 0.67 (3H, s, CH<sub>3</sub>-18); 1 组烯氢信号  $\delta$  5.3 (1H, s, H-6); 1 个杂原子取代氢信号  $\delta$  3.52 (1H, m, H-3)。结合化合物 4 的  $^1H$ -NMR 数据推测其为甾体类化合物。将其与  $\beta$ -谷甾醇对照品进行薄层色谱对照, 多种溶剂系统展开, 两者的 Rf 值均一致, 且斑点颜色相同, 故鉴定化合物 4 为  $\beta$ -谷甾醇。

**化合物 5:** 白色粉末,  $^1H$ -NMR (400 MHz, DMSO-d<sub>6</sub>) 显示 1 组烯氢信号  $\delta$  5.32 (1H, d,  $J$  = 4.5 Hz, H-6); 6 组甲基信号  $\delta$  (3H, s, H-18), 0.79~0.84 (9H, m, H-26, 27, 29), 0.91 (3H, d,  $J$  = 6.4 Hz, H-21) 和 0.96 (3H, s, H-19); 1 组糖的端基氢信号  $\delta$  4.38 (1H, d,  $J$  = 7.6 Hz, H-1') 及 1 组含氧取代氢信号  $\delta$  3.43 (1H, m, H-3)。其 NMR 数据与文献报道<sup>[11-12]</sup>比较, 两者基本一致; 将化合物 5 与  $\beta$ -胡萝卜苷对照品进行薄层色谱对照, 多种溶剂系统展开, 两者的 Rf 值均一致, 且斑点颜色相同, 故鉴定化合物 5 为  $\beta$ -胡萝卜苷。

**化合物 6:** 白色胶状物。 $^1H$ -NMR (400 MHz, CDCl<sub>3</sub>) 显示有 7 组甲基氢信号  $\delta$  0.68 (3H, s, H-18), 0.81 (3H, s, H-27), 0.83 (3H, s, H-26), 0.84 (3H, m, H-29), 0.88 (3H, t,  $J$  = 6.3 Hz, CH<sub>3</sub>-CH<sub>2</sub>), 0.92 (3H, s, H-21), 1.01 (3H, s, H-19); 5 组烯氢信号  $\delta$  5.34 (5H, m, H-6, 9", 10", 12", 13"); 1 组糖的端基信号  $\delta$  4.38 (1H, d,  $J$  = 7.6 Hz, H-1')。 $^{13}C$ -NMR (100 MHz, CDCl<sub>3</sub>) 显示有 53 个碳信号, 其中有 1 个羰基碳信号  $\delta$  174.4 (C-1"); 6 个烯碳信号  $\delta$  122.1 (C-6), 127.9 (C-9"), 130.2 (C-10"), 128.1 (C-13"), 130.0 (C-12") 和 140.3 (C-5); 1 个葡萄糖端基碳信号  $\delta$  101.2 (C-1")。将化合物 6 的氢谱和碳谱数据与文献报道比较<sup>[13-14]</sup>, 两者基本一致, 故鉴定化合物 6 为胡萝卜苷亚油酸酯。

**化合物 7:** 无色针晶 (丙酮), 在荧光灯 245 nm 下有蓝色荧光, $^1H$ -NMR (600 MHz, CDCl<sub>3</sub>) 显示有 1 个甲氧基信号  $\delta$  3.96 (3H, s, H-11); 1 个酚羟基氢信号  $\delta$  6.18 (1H, brs, 7-OH); 2 组烯氢信号  $\delta$  7.60 (1H, d,  $J$  = 9.5 Hz, H-4) 和 6.28 (1H, d,  $J$  = 9.5 Hz, H-3), 2 个芳氢信号  $\delta$  6.92 (1H, s, H-5) 和 6.85 (1H, s, H-8);  $^{13}C$ -NMR (100 MHz, CDCl<sub>3</sub>) 示有 10 个碳信号, 其中有 1 个羰基碳信号  $\delta$  161.4 (C-2); 6 个芳碳信号  $\delta$  149.7 (C-6), 103.2 (C-5), 150.2 (C-7), 107.5 (C-8),

144.0 (C-9) 和 111.5 (C-10); 2 个烯碳信号  $\delta$  113.4 (C-3) 和 143.3 (C-4) 和 1 个甲氧基碳信号  $\delta$  56.4 (C-11)。将化合物 7 的氢谱和碳谱数据与文献报道<sup>[15-16]</sup>对照, 两者基本一致, 故鉴定化合物 7 为东莨菪素。

**化合物 8:** 无色针晶(丙酮), 在荧光灯 245 nm 下有蓝色荧光。<sup>1</sup>H-NMR (400 MHz, CDCl<sub>3</sub>) 显示有 4 组对位 2 取代的芳氢信号  $\delta$  7.52 (2H, d,  $J$  = 5.4 Hz, H-3, 5), 6.79 (2H, d,  $J$  = 5.4 Hz, H-2, 6); 2 组烯氢信号  $\delta$  7.51 (1H, d,  $J$  = 9.6 Hz, H-8), 6.30 (1H, d,  $J$  = 9.6 Hz, H-7); 1 组醛氢信号  $\delta$  9.98 (1H, brs, H-9) 和 1 组酚羟基信号  $\delta$  12.15 (1H, brs, H-4)。<sup>13</sup>C-NMR (100 MHz, CDCl<sub>3</sub>) 示有 7 个碳信号, 其中有 1 个羰基碳信号  $\delta$  168.2 (C-9); 4 个芳碳信号  $\delta$  159.8 (C-4), 144.4 (C-2, 6), 130.3 (C-3, 5), 125.5 (C-1); 2 个烯碳信号  $\delta$  115.9 (C-7) 和 115.5 (C-8)。将化合物 8 的氢谱和碳谱数据与文献报道<sup>[17-18]</sup>对照, 两者基本一致, 故鉴定化合物 8 为对羟基桂皮醛。

#### 参考文献

- [1] 白雪梅, 乔春林, 黄冕, 等. 素心腊梅种子中生物碱成分的研究 [J]. 华西药学杂志, 2016, 31(6): 67-70.
- [2] 沈强. 腊梅花精油提取工艺及成分比较 [D]. 重庆: 西南大学, 2009.
- [3] 杜裕芳, 陈海芳, 冯育林, 等. 腊梅属植物的化学成分及药理作用研究进展 [J]. 时珍国医国药, 2013, 24(8): 1981-1983.
- [4] Lv J S, Zhang L L, Chu X Z, et al. Chemical composition, antioxidant and antimicrobial activity of the extracts of the flowers of the Chinese plant *Chimonanthus praecox* [J]. *Nat Prod Res*, 2012, 26(14): 1363-1367.
- [5] Morikawa T, Nakanishi Y, Ninomiya K, et al. Dimeric pyrrolidinoindolinetype alkaloids with melanogenesis inhibitory activity in flower buds of *Chimonanthus praecox* [J]. *Nat Med*, 2014, 68(3): 539-549.
- [6] 陈志秀, 丁宝章. 河南腊梅属植物的研究 [J]. 河南农业大学学报, 1987, 21(4): 413.
- [7] Helan V, Mills A, Drewry D, et al. A rapid three component mgI 2-mediated synthesis of 3,3-pyrrollidinyl spirooxindoles [J]. *Org Chem*, 2010, 75(19): 6693-6695.
- [8] Jossang A, Jossang P, Hamid A, et al. Horsfiline, an oxindole alkaloid from *Horsfieldia superba* [J]. *J Org Chem*, 1991, 56(23): 6527-6530.
- [9] Fang C L, Horne S, Taylor N, et al. Dimerization of a 3-substituted oxindole at C-3 and its application to the synthesis of (f)-folicanthine [J]. *J Am Chem Soc*, 1994, 116(21): 9480-9486.
- [10] Wube A A, Hüfner A, Thomaschitz C, et al. Design, synthesis and antimycobacterial activities of 1-methyl-2-alkenyl-4(1H)-quinolones [J]. *Bioorg Med Chem*, 2011, 19(1): 567-579.
- [11] 李丽梅, 李维林, 郭巧生, 等. 白背三七化学成分研究 [J]. 时珍国医国药, 2008, 19(1): 118-119.
- [12] 刘楠, 于新宇, 赵红, 等. 益智化学成分研究 [J]. 中草药, 2009, 40(1): 29-32.
- [13] Hashimoto T, Tori M, Asakawa Y. Piscicidal sterol acylglucosides from *Edgeworthia chrysanthia* [J]. *Phytochemistry*, 1991, 30(9): 2927-2931.
- [14] 王瑞, 俞桂新, 朱恩圆, 等. 川赤芍化学成分研究 [J]. 中国药学杂志, 2007, 42(9): 661-663.
- [15] 孙丽仁, 何明珍, 冯育林, 等. 山腊梅叶的化学成分研究 [J]. 中草药, 2009, 8(40): 12-14.
- [16] 段朝辉, 石宝俊, 吴立宏, 等. 长梗秦艽的化学成分研究 [J]. 中国天然产物, 2007, 5(6): 417-420.
- [17] 朱小璐, 窦颖辉, 黄雪峰, 等. 大高良姜的化学成分研究 [J]. 中国现代中药, 2008, 10(11): 13-15.
- [18] Barik B R, Kundu A B, Dey A K, et al. Two phenolic constituents from *Alpinia galangal* rhizomes [J]. *Phytochemistry*, 1987, 26(7): 2126-2127.